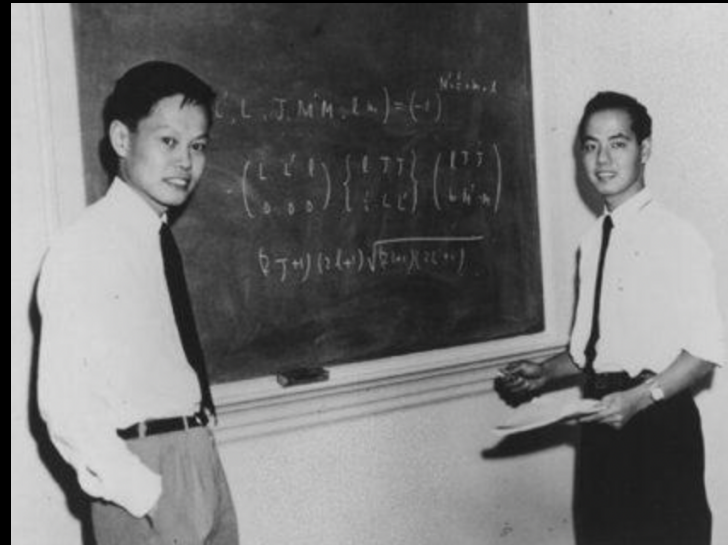


弱い力のparityの破れと 超新星・中性子星の物理

山本 直希 (慶應義塾大学)

素粒子物理学の進展 2024 (PPP2024)

弱い力のパリティの破れ



[https://www.nist.gov/image/yang-lee-bg-
credit-alan-richardsresized-descrip.jpg](https://www.nist.gov/image/yang-lee-bg-credit-alan-richardsresized-descrip.jpg)

Yang & Lee の理論 (1956)



(1957)

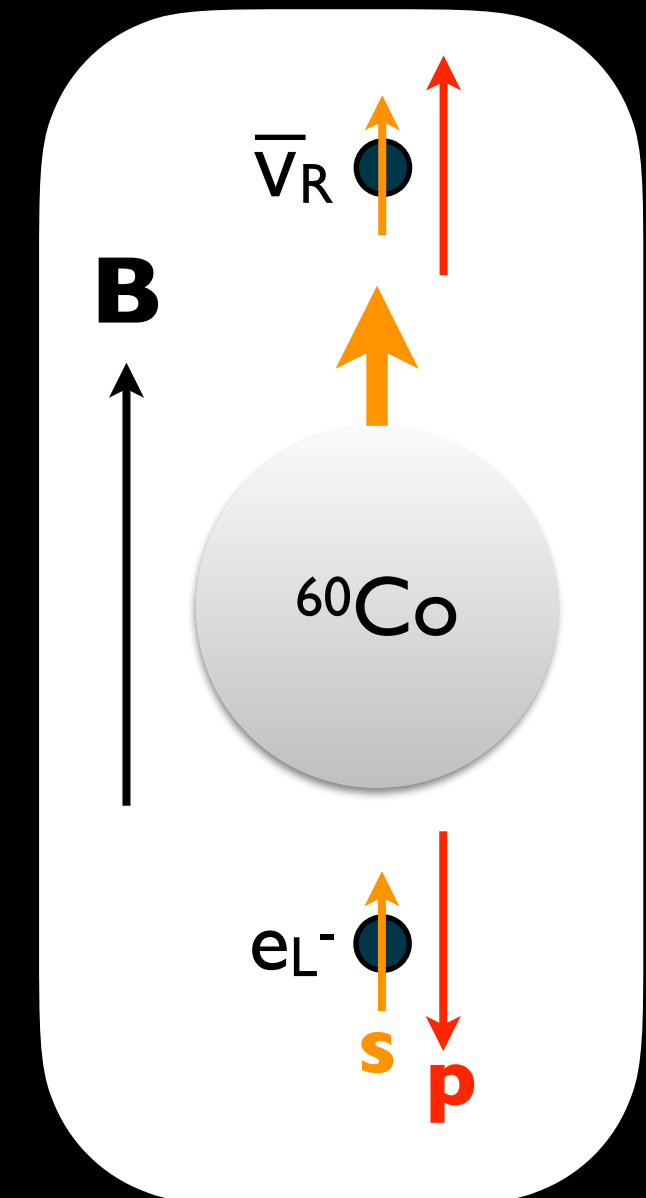


[https://en.wikipedia.org/wiki/Wu_experiment#/media/File:Chien-shiung_Wu_\(1912-1997\)_C.jpg](https://en.wikipedia.org/wiki/Wu_experiment#/media/File:Chien-shiung_Wu_(1912-1997)_C.jpg)

Wu の実験 (1957)

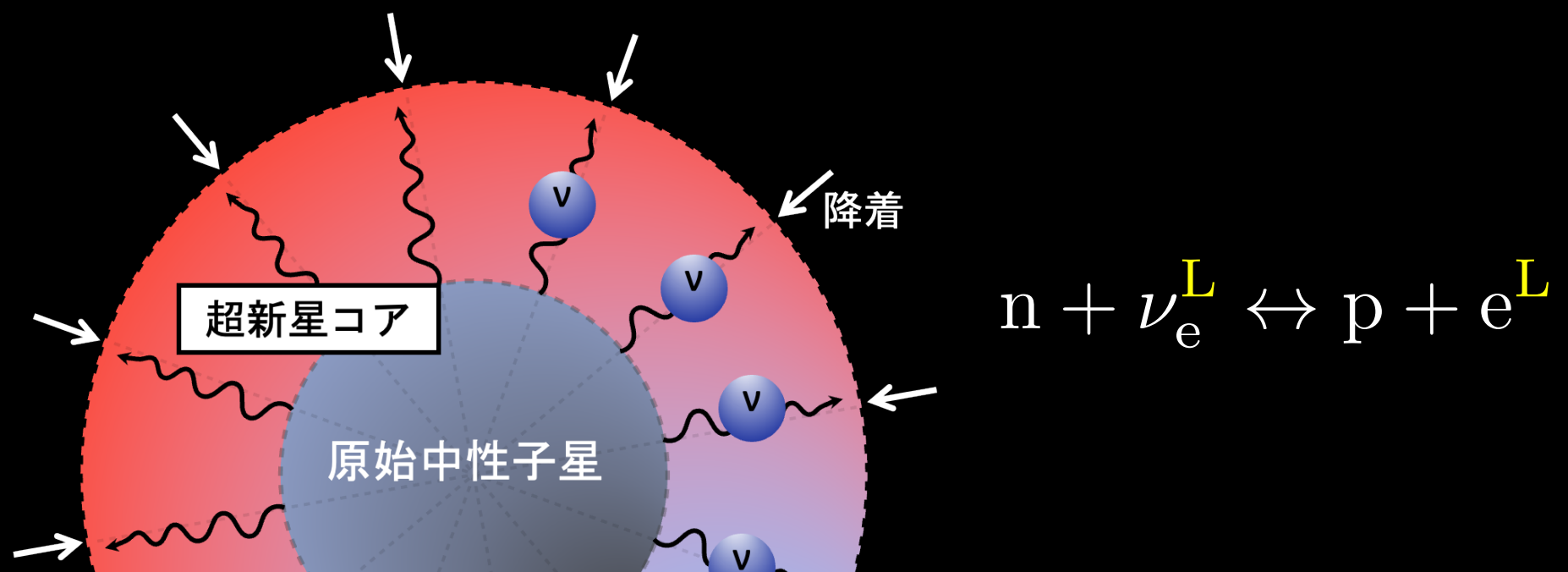
弱い力はパリティ対称性を最大限 (100%) 破る

$p \propto B$



Main message

- 超新星爆発から中性子星形成に至る鍵：ニュートリノ加熱
- 従来の理論は弱い力の基本的性質を無視：パリティの破れ
- 本来あるべきこの効果は超新星の時間発展を質的に変える
- 標準理論の枠内だが非平衡量子多体系の難しさ・面白さ



Contents

- 重力崩壊型超新星と関連する問題
- 超新星の有効理論：
カイラル輻射輸送理論とカイラル磁気流体力学
- 超新星への応用：
マグネター、爆発ダイナミクス、パルサー・キック

Kamada, Yamamoto, and Yang, “*Chiral Effects in Astrophysics and Cosmology,*”
Prog. Part. Nucl. Phys. (2023) 2207.09184 [astro-ph.CO]

重力崩壊型超新星・

中性子星・マグネタ—

重力崩壊型 超新星爆発

- 大質量星の進化の最後の大爆発
- 中性子星への転移 & 重元素の起源
- 重力エネルギーの大部分をニュートリノが持ち運ぶ
- 超新星の進化（爆発機構や中性子星磁場の起源等）は未解明

マグネター

- 特に強い磁場をもつ中性子星
- 表面磁場 $\sim 10^{15}$ G (“宇宙最強の磁石星”)
- このような強く大スケールで安定な磁場の起源？

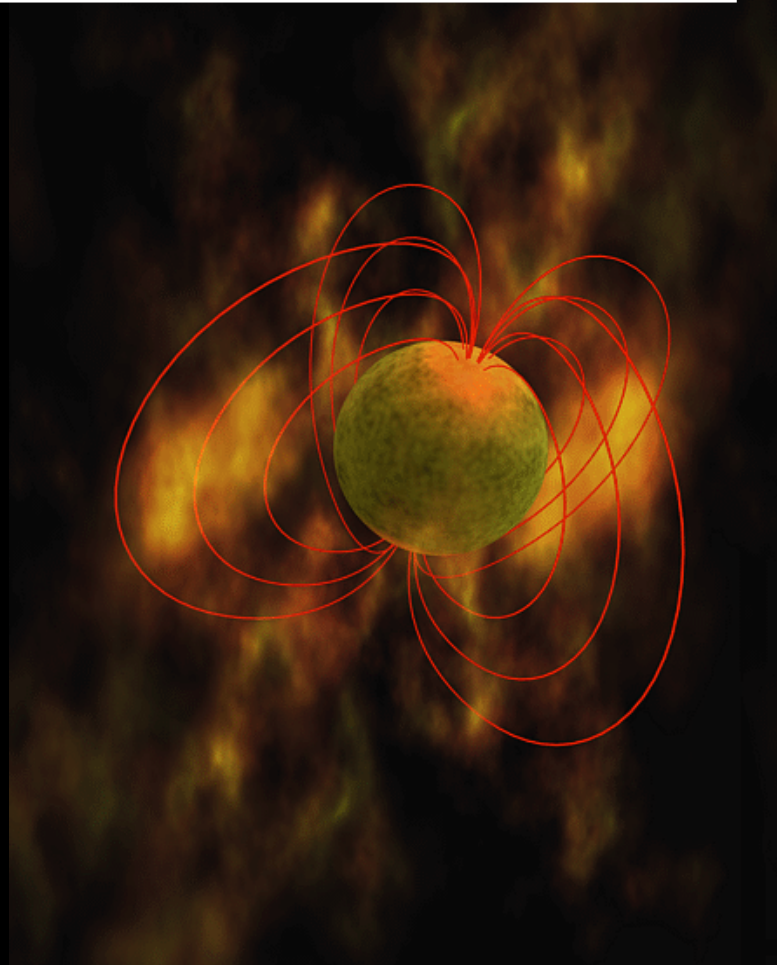
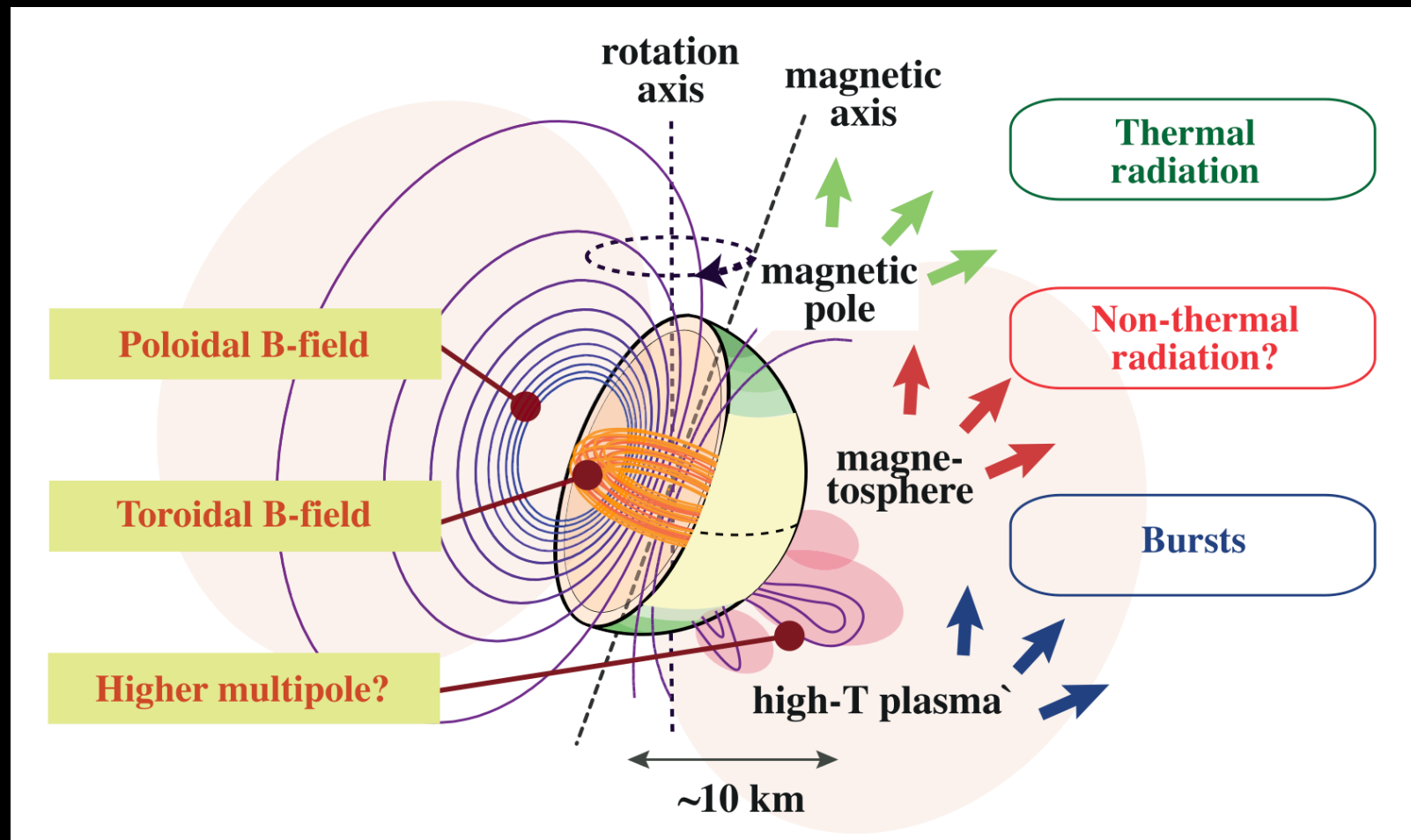


Illustration from Wikipedia

中性子星・マグネターマ磁场

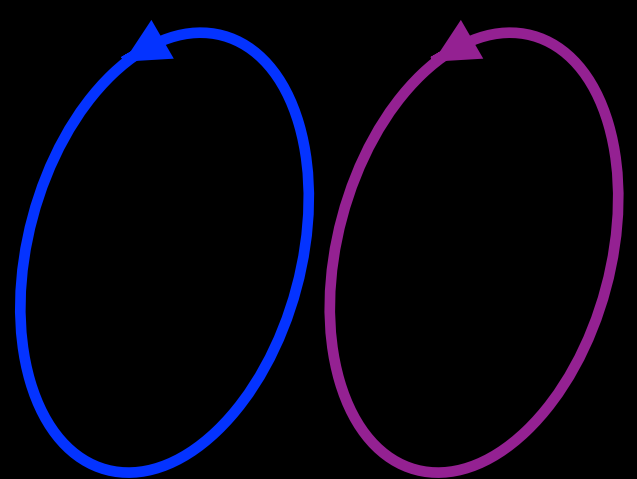
- 純粹な poloidal (or toroidal) 磁場は不安定
- 安定性に poloidal & toroidal 磁場が両方必要 (絡み目構造)
- 観測も toroidal 磁場の存在を示唆 e.g., Makishima, Enoto, et al. (2014)



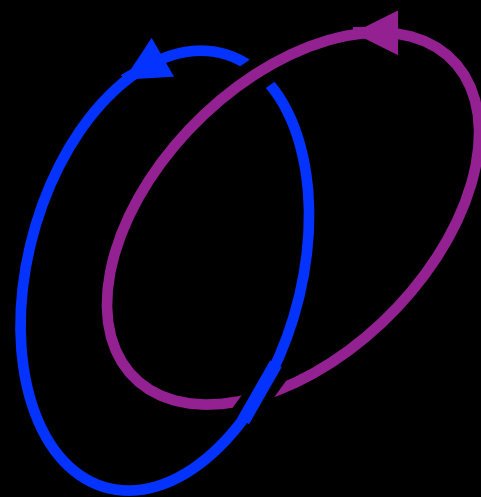
磁気ヘリシティ

- $\mathcal{H} = \int d^3x \mathbf{A} \cdot \mathbf{B}$: 磁場の絡み目（トポロジカルな安定性）

$$\mathcal{H} = 0$$



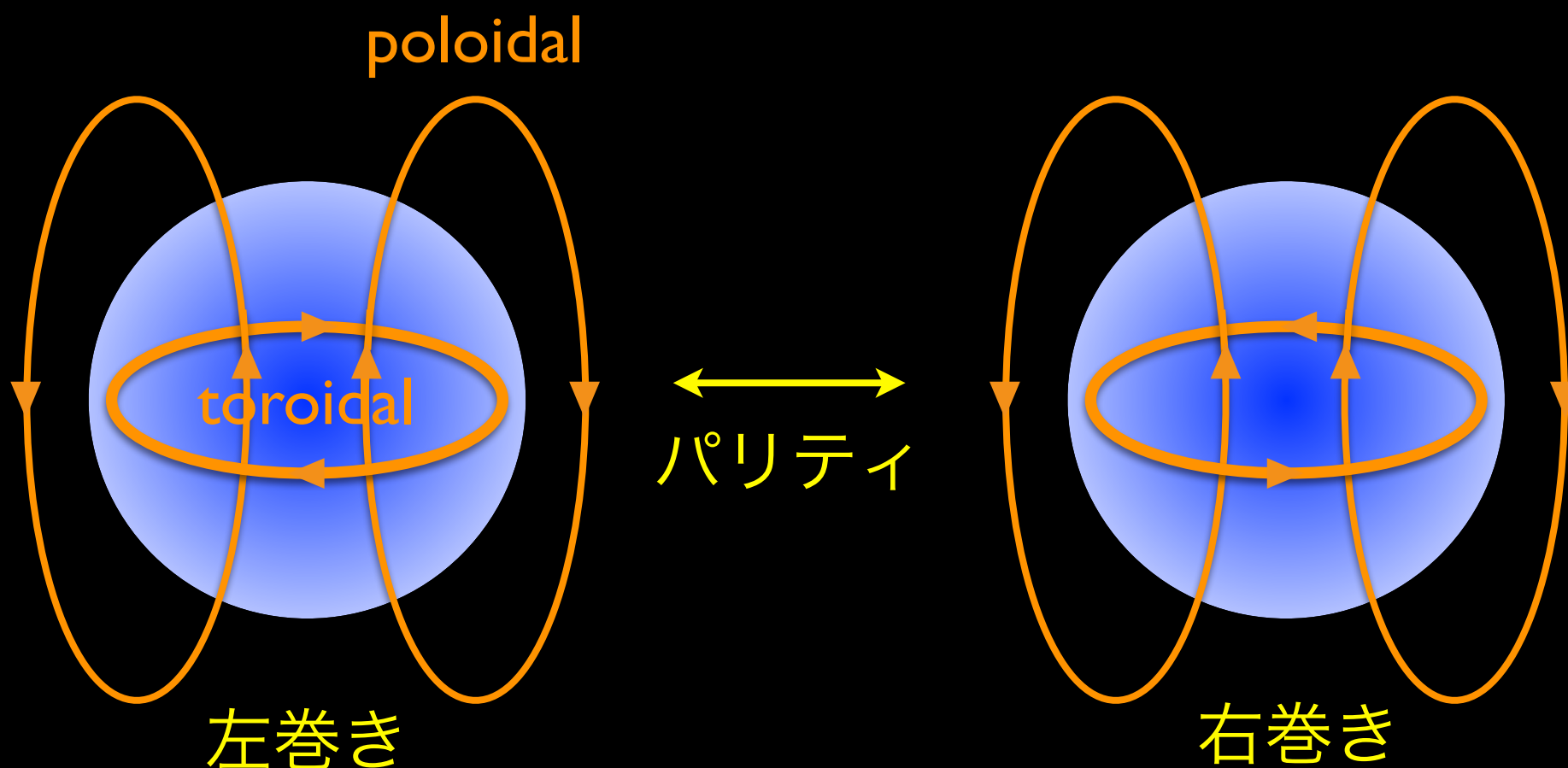
$$\mathcal{H} \neq 0$$



非可逆対称性との関連 → 横倉さんの講演

磁気ヘリシティ

- $\mathcal{H} = \int d^3x \mathbf{A} \cdot \mathbf{B}$: 磁場の絡み目（トポロジカルな安定性）
- 通常MHDの初期条件として仮定されるが、その起源は？
(大域的な \mathcal{H} はパリティ奇)



超新星の有効理論 とパリティの破れ

超新星の時間発展を解く

- 超新星 = ニュートリノ・電子・核子の量子多体系
- 素粒子の標準理論を解くのは practical に不可能
- 代わりに粗視化した理論を考える
(例) 空気の流体力学：分子のダイナミクスは不要
- ニュートリノは非平衡：運動論 (Boltzmann方程式) を解く

運動論

- 非平衡状態における統計的な時間発展を記述する有効理論
 - 系が大域的熱平衡 → 热力学（系の詳細に依らない）
 - 系が局所的熱平衡 → 流体力学
 - 系が非平衡 → 運動論（系の詳細に依存）
- 通常の中性粒子に対する Boltzmann 方程式

$$\frac{\partial f}{\partial t} + \mathbf{v} \cdot \frac{\partial f}{\partial \mathbf{x}} = C[f]$$

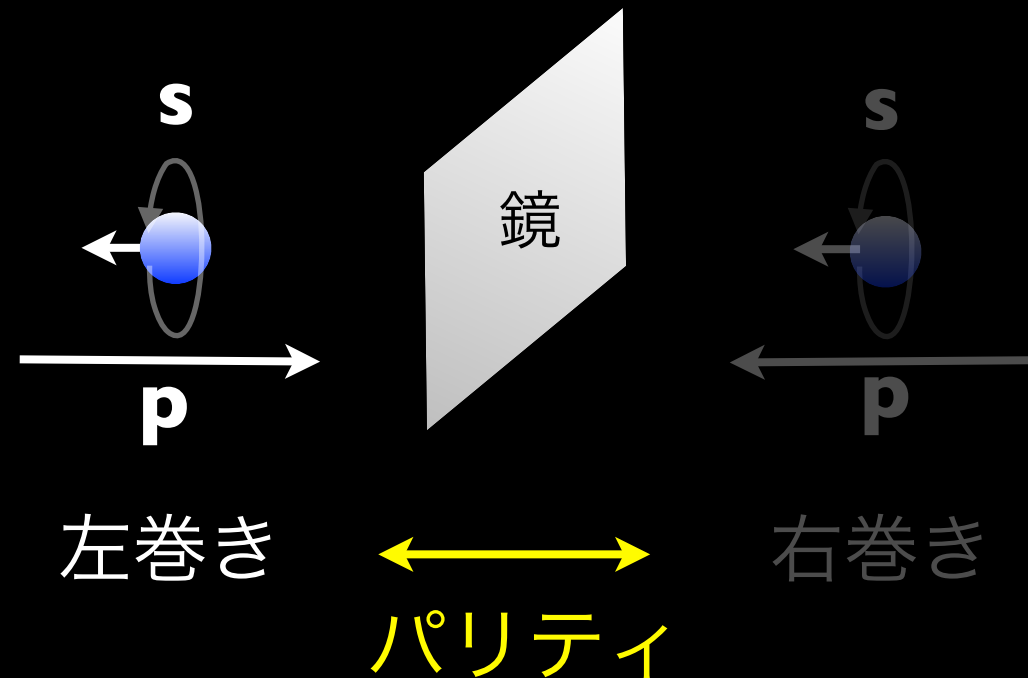
分布関数
 $f = f(t, \mathbf{x}, \mathbf{p})$

流体力学・運動論 = 有効理論

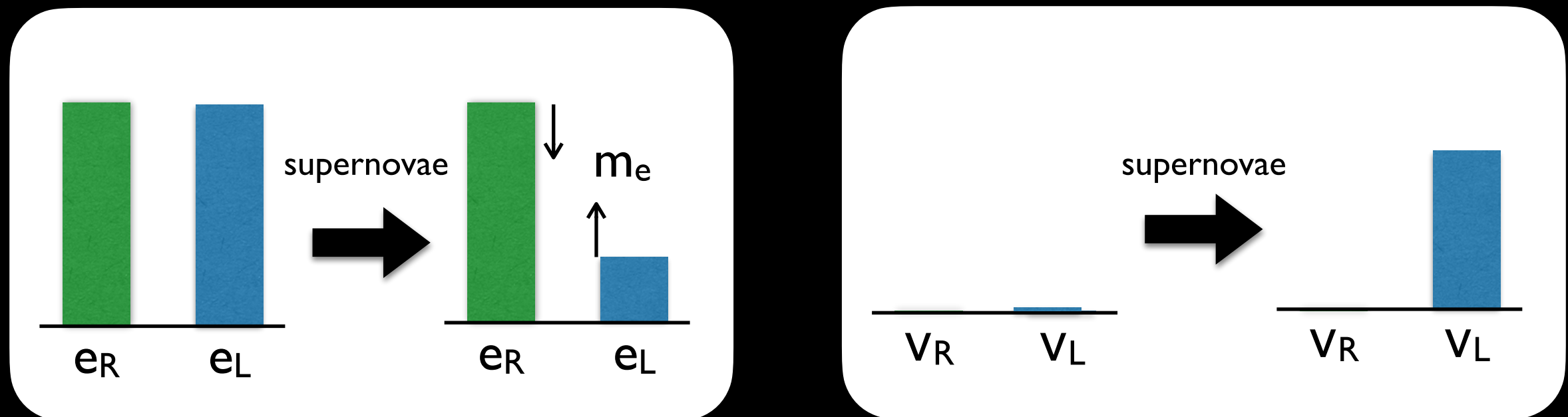
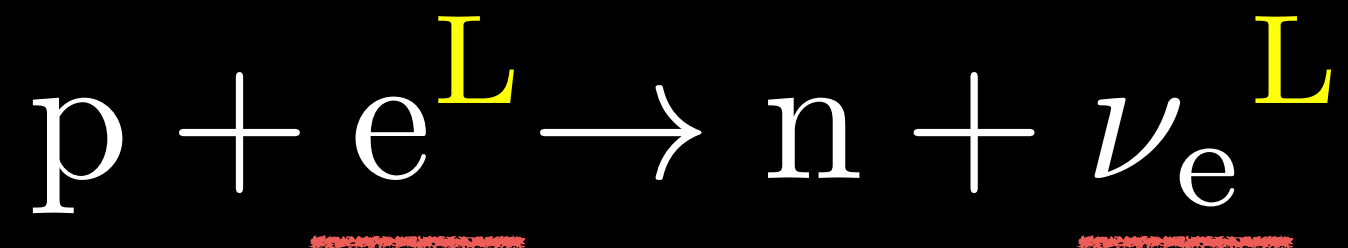
- 現代的には系の対称性と系統的な展開に基づく有効理論
 - (例) 流体力学: $(\text{平均自由行程}) / (\text{典型的なスケール}) \ll 1$ で展開
 - 対称性に基づいて理論を書き下す (bottom-up approach)
 - ミクロな理論を粗視化して導出 (top-down approach)
 - 理論は対称性で分類される (例) 常流動・超流動の流体力学

超新星とニュートリノ

- 従来のニュートリノ運動論の問題：左巻きであることを無視
- パリティを100%破るという系の対称性を反映していない
→ 対称性に基づく「低エネルギー有効理論」として不適

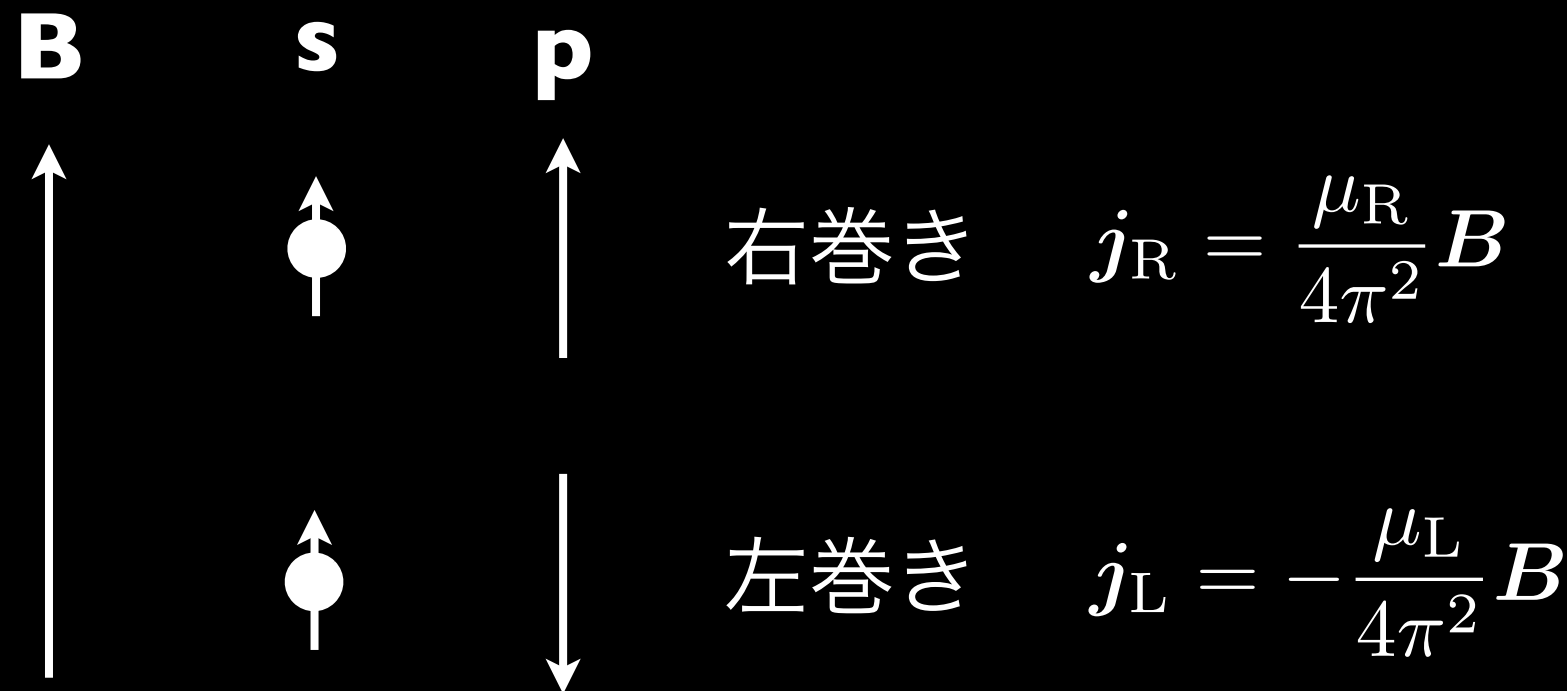


Supernova = Giant Parity Breaker



Ohnishi, Yamamoto (2014); Grabowska, Kaplan, Reddy (2015); Sigl, Leite (2016), ...

Chiral magnetic effect

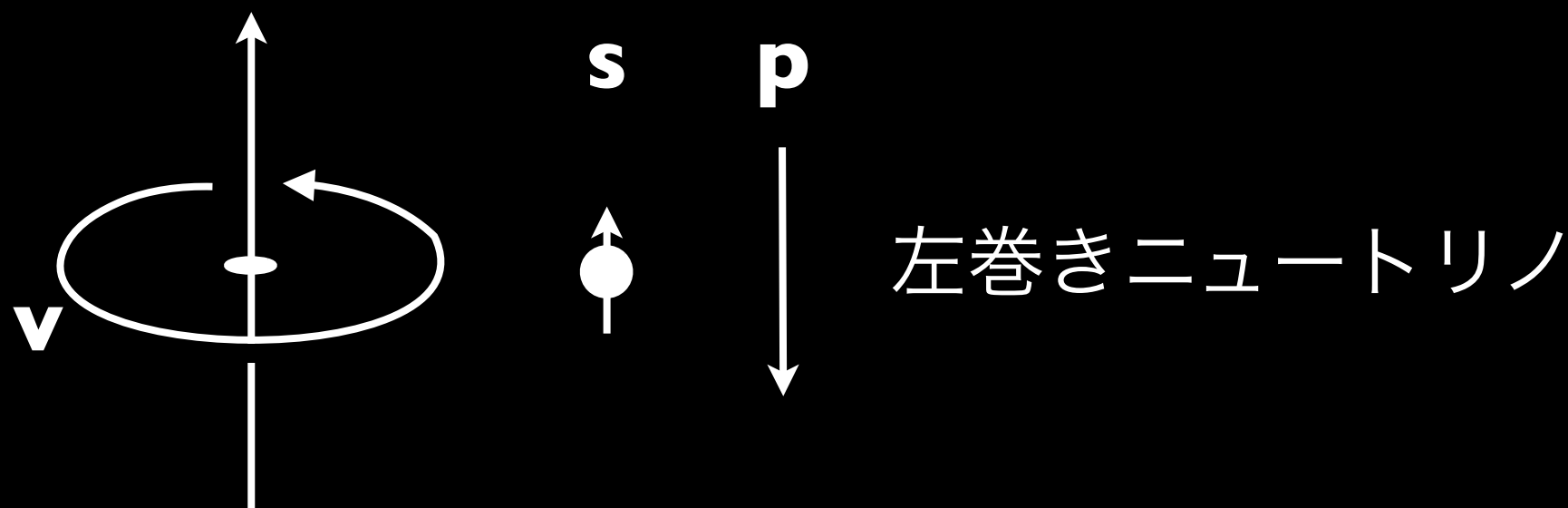


$$j = \frac{\mu_R - \mu_L}{4\pi^2} B \equiv \frac{\mu_5}{2\pi^2} B$$

Vilenkin (1980); Nielsen, Ninomiya (1983); Fukushima, Kharzeev, Warringa (2008), ...

Chiral vortical effect

$$\omega \equiv \frac{1}{2} \nabla \times \mathbf{v}$$



$$j = - \left(\frac{\mu^2}{4\pi^2} + \frac{T^2}{12} \right) \omega$$

従来のニュートリノ輸送理論では記述できない

Vilenkin (1979); Erdmenger et al. (2009); Banerjee et al. (2011);
Son, Surowka (2009); Landsteiner et al. (2011)

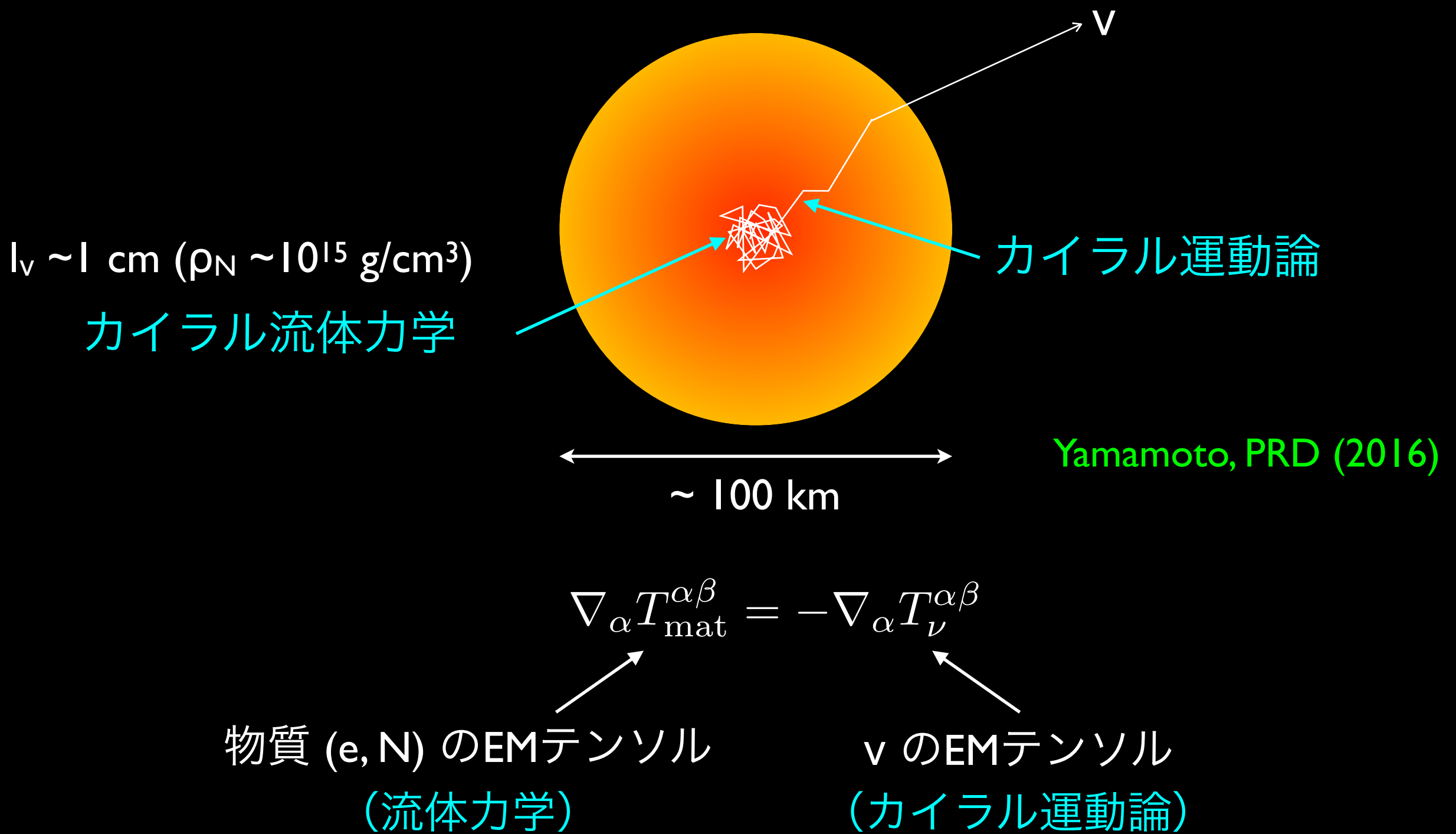
Sources for “chiral magnetic effect”

$$j_e = [\# \mu_5 + \# \boldsymbol{v} \cdot \boldsymbol{\omega} + \xi_B(f_\nu) + \dots] \boldsymbol{B}$$

- 電子捕獲反応 $p + e^L \rightarrow n + \nu_e^L$ による μ_5 (超新星コア)
→ 電子質量 m_e によるフリッピング ($e_R \leftrightarrow e_L$) で大きく抑制
[Ohnishi, Yamamoto \(2014\); Grabowska, Kaplan, Reddy \(2015\); Sigl, Leite \(2016\), ...](#)
- カイラル渦効果 (CVE) による流体ヘリシティ (超新星コア)
[Yamamoto, PRD \(2016\)](#)
- 非平衡ニュートリノとの散乱による $\xi_B(f_\nu)$ (超新星コア内外)
[Matsumoto, Yamamoto, Yang, PRD \(2022\); Yamamoto, Yang, PRL \(2023\)](#)
- 電子捕獲反応 $p + e^L \rightarrow n + \nu_e^L$ による μ_5 (中性子星クラスト)
[Dehman, Pons, 2408.05281](#)

カイラル輻射輸送理論

ニュートリノ輻射輸送



Top-down approach

ミクロ

素粒子の標準理論



パリティの破れを含むカイラル運動論



マクロ

超新星の流体力学的な時間発展

※ 荷電粒子の場合、カイラル運動論はカイラルアノマリーを再現

Son, Yamamoto, PRL, PRD (2012); Stephanov, Yin, PRL (2012); Chen et al., PRL (2012)

場の理論からカイラル運動論

see, e.g., a review by Hidaka, Pu, Wang, Yang, PPNP (2022)

- Wigner 関数: $S^<(q, x) = \int_y e^{-iq \cdot y} \langle \psi^\dagger(x + y/2) \psi(x - y/2) \rangle \equiv \sigma^\mu \mathcal{L}_\mu^<$
- 運動方程式 ($\partial_x \ll q$): $\mathcal{D}_\mu \mathcal{L}^{<\mu} = 0, \quad \cdots (1)$
 $q_\mu \mathcal{L}^{<\mu} = 0, \quad \cdots (2)$
 $\mathcal{D}_\mu \mathcal{L}_\nu^< - \mathcal{D}_\nu \mathcal{L}_\mu^< = -2\epsilon_{\mu\nu\rho\sigma} q^\rho \mathcal{L}^{<\sigma} \quad \cdots (3)$
- where $\mathcal{D}_\mu \mathcal{L}_\nu^< \equiv \partial_\mu \mathcal{L}_\nu^< - \Sigma_\mu^< \mathcal{L}_\nu^> + \Sigma_\mu^> \mathcal{L}_\nu^<$
- (2), (3) の解: $\mathcal{L}^{<\mu} = 2\pi\delta(q^2) (q^\mu - S^{\mu\nu} \mathcal{D}_\nu) f^<$ フレームベクトル
スピンテンソル $S^{\mu\nu} = \frac{\epsilon^{\mu\nu\alpha\beta} q_\alpha n_\beta}{2q \cdot n}$
- (I) に代入 → 衝突項入りの輸送方程式

$$J^\mu = 2 \int_q \mathcal{L}^{<\mu}, \quad T^{\mu\nu} = \int_q (\mathcal{L}^{<\mu} q^\nu + \mathcal{L}^{<\nu} q^\mu)$$

カイラル輻射輸送理論

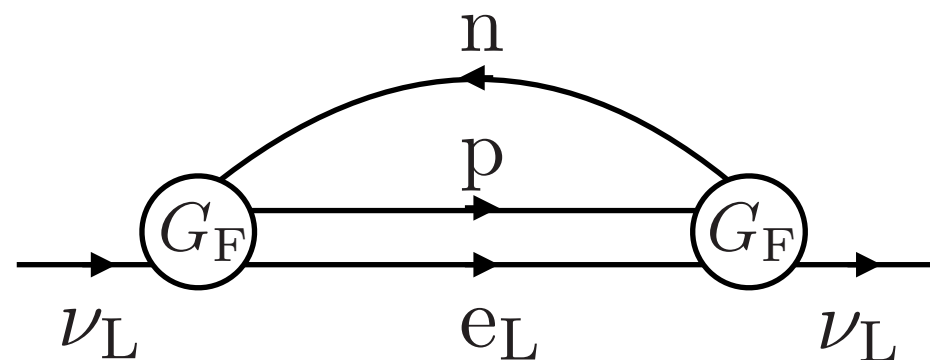
Yamamoto, Yang, ApJ (2020); PRD (2024)

曲がった時空でカイラル効果と衝突項を含む一般形

$$[q^\mu D_\mu - (D_\mu S^{\mu\nu})\partial_\nu + S^{\mu\nu} q^\rho R_{\rho\mu\nu}^\lambda \partial_{q\lambda}] f = (1-f)\Gamma^{\text{放出}} - f\Gamma^{\text{吸収}}$$

$$D_\mu = \nabla_\mu - \Gamma_{\mu\nu}^\lambda q^\nu \partial_{q\lambda}, \quad \Gamma^{\leqslant} = (q^\nu - D_\mu S^{\mu\nu}) \Sigma_\nu^{\leqslant}, \quad S^{\mu\nu} = \frac{\epsilon^{\mu\nu\alpha\beta} q_\alpha n_\beta}{2q \cdot n}$$

ニュートリノ自己エネルギーの例



カイラル輻射輸送理論

Yamamoto, Yang, ApJ (2020); PRD (2024)

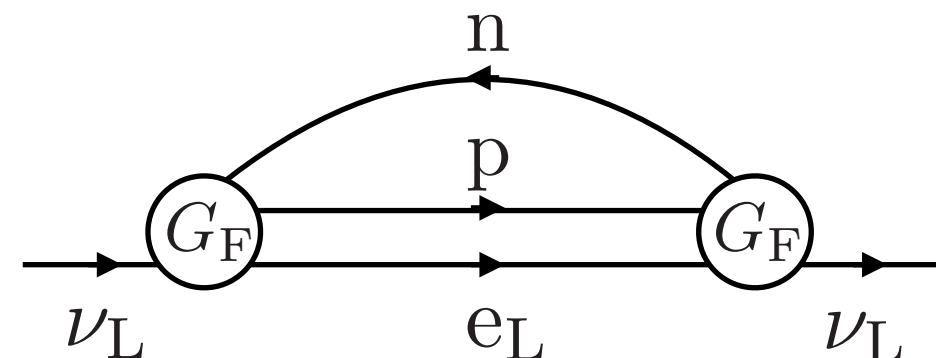
時空の曲率を無視して $n^\mu = (1, \mathbf{0})$ をとった場合

$$q^\mu D_\mu f = (1 - f)\Gamma^< - f\Gamma^>$$

放出 吸収

$$D_\mu = \nabla_\mu - \Gamma_{\mu\nu}^\lambda q^\nu \partial_{q^\lambda}, \quad \Gamma^{\leqslant} = (q^\nu - S^{\mu\nu} D_\mu) \Sigma_\nu^{\leqslant}, \quad S^{\mu\nu} = \frac{\epsilon^{\mu\nu\alpha\beta} q_\alpha n_\beta}{2q \cdot n}$$

ニュートリノ自己エネルギーの例



カイラル輻射輸送理論

Yamamoto, Yang, ApJ (2020); PRD (2024)

時空の曲率を無視して $n^\mu = (1, \mathbf{0})$ をとった場合

$$q^\mu D_\mu f = (1 - f)\Gamma^< - f\Gamma^>, \quad \Gamma^{\leqslant} \approx \Gamma^{(0)\leqslant} + \Gamma^{(\omega)\leqslant}(q \cdot \omega) + \Gamma^{(B)\leqslant}(q \cdot B)$$

$$\omega^\mu \equiv \frac{1}{2}\epsilon^{\mu\nu\alpha\beta}u_\nu\partial_\alpha u_\beta, \quad B^\mu \equiv \frac{1}{2}\epsilon^{\mu\nu\alpha\beta}u_\nu F_{\alpha\beta}$$

$$\Gamma^{(0)>} \approx \frac{G_F^2}{\pi} (g_V^2 + 3g_A^2) E_\nu^3 (1 - f^{(e)}) \left(1 - \frac{3E_\nu}{M_N}\right) \frac{n_p - n_n}{1 - e^{\beta(\mu_n - \mu_p)}}$$

$$\Gamma^{(B)>} \approx \frac{G_F^2}{2\pi M_N} (g_V^2 + 3g_A^2) E_\nu (1 - f^{(e)}) \left(1 - \frac{8E_\nu}{3M_N}\right) \frac{n_p - n_n}{1 - e^{\beta(\mu_n - \mu_p)}}$$

$$\Gamma^{(\omega)>} \approx \frac{G_F^2}{2\pi} (g_V^2 + 3g_A^2) E_\nu (1 - f^{(e)}) \left(2 + \beta E_\nu f^{(e)}\right) \frac{n_p - n_n}{1 - e^{\beta(\mu_n - \mu_p)}}$$

$\Gamma^{(0)}$ was computed in Reddy, Prakash, Lattimer, PRD (1998)

カイラル輻射輸送理論

Yamamoto, Yang, ApJ (2020); PRD (2024)

時空の曲率を無視して $n^\mu = (1, \mathbf{0})$ をとった場合

$$q^\mu D_\mu f = (1 - f)\Gamma^< - f\Gamma^>, \quad \Gamma^{\leqslant} \approx \Gamma^{(0)\leqslant} + \Gamma^{(\omega)\leqslant}(q \cdot \omega) + \Gamma^{(B)\leqslant}(q \cdot B)$$

$$\omega^\mu \equiv \frac{1}{2}\epsilon^{\mu\nu\alpha\beta}u_\nu\partial_\alpha u_\beta, \quad B^\mu \equiv \frac{1}{2}\epsilon^{\mu\nu\alpha\beta}u_\nu F_{\alpha\beta}$$

ニュートリノのカレントとエネルギー運動量テンソル

$$J^\mu = \int_q \frac{1}{|q|} (q^\mu - S^{\mu\nu} D_\nu) f, \quad T^{\mu\nu} = \int_q \frac{1}{|q|} \left[q^\mu q^\nu - \frac{1}{2} (q^\mu S^{\nu\rho} + q^\nu S^{\mu\rho}) D_\rho \right] f$$

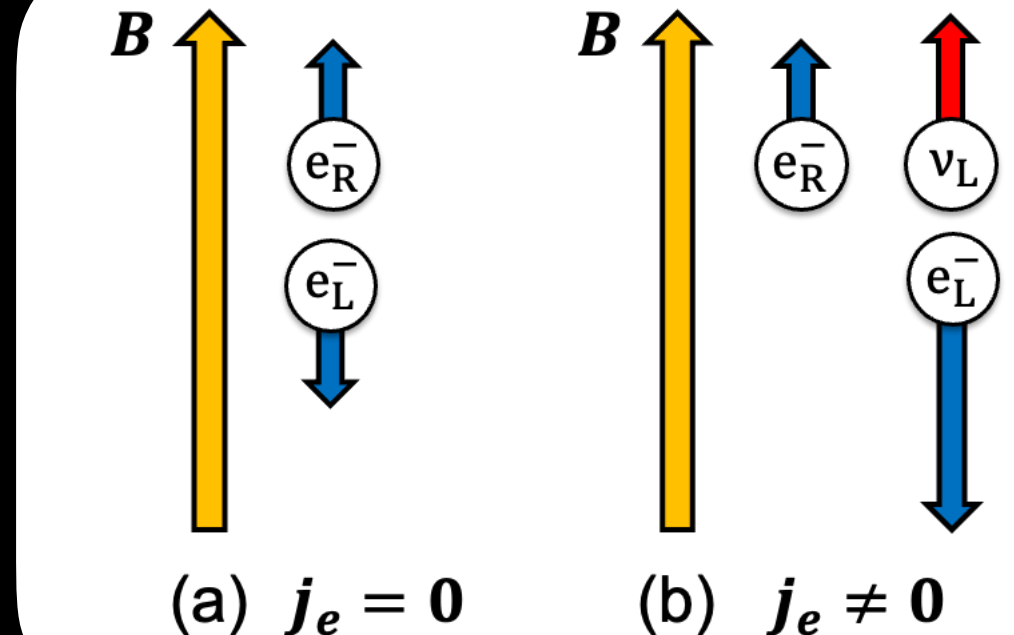
$$D_\mu = \nabla_\mu - \Gamma_{\mu\nu}^\lambda q^\nu \partial_{q^\lambda}, \quad S^{\mu\nu} = \frac{\epsilon^{\mu\nu\alpha\beta} q_\alpha n_\beta}{2q \cdot n}$$

弱い力の作用する左巻き電子にもカイラル補正

Effective Chiral Magnetic Effect

$$j_e = \xi_B B$$

非平衡ニュートリノの backreaction による
※ CME と違い μ_5 は不要 (Wu の実験と同様)



Yamamoto, Yang, PRL (2023)

$$\xi_B = \frac{1}{4\pi^3} (g_V^2 + 3g_A^2) G_F^2 (n_p - n_n) \int dt \int_0^\infty p^2 dp \left[\frac{\bar{f}_e (1 - \bar{f}_\nu)}{1 - e^{\beta(\mu_n - \mu_p)}} + \frac{(1 - \bar{f}_e) \bar{f}_\nu}{1 - e^{\beta(\mu_p - \mu_n)}} \right] + (\text{antiparticle's})$$

ニュートリノ加熱が起きるゲイン領域で $|\xi_B| \sim 0.1\text{-}1 \text{ MeV}$

$$Y_e \simeq 0.4, \rho \sim 10^{10} \text{ g} \cdot \text{cm}^{-3}, T \sim 10^{11} \text{ K}, \mu_n - \mu_p \simeq 3 \text{ MeV}, t \sim 0.1 \text{ s}$$

Other chiral effects

- ν カイラル渦効果 (CVE) :

$$j_\nu^i = -\frac{1}{2\pi^2} \omega^i \int_0^\infty dp p f_\nu + (\text{antiparticle's}), \quad T_\nu^{i0} = -\frac{1}{2\pi^2} \omega^i \int_0^\infty dp p^2 f_\nu + (\text{antiparticle's})$$

- ν スピンホール効果 :

$$j_\nu = \int_{\mathbf{p}} \frac{1}{2|\mathbf{p}|^3} (\mathbf{p} \times \nabla V) f_\nu + (\text{antiparticle's})$$

Yamamoto, Yang, PRD (2024)

$$V = \frac{G_F}{\sqrt{2}} [(1 + 4 \sin^2 \theta_W) n_e - n_n + (1 - 4 \sin^2 \theta_W) n_p]$$

※ V は物質中のニュートリノ振動 (MSW効果) でも重要

カイラル磁気流体力学 とその現象論的応用

Chiral MHD equations

Masada, Kotake, Takiwaki, Yamamoto, PRD (2018); Matsumoto, Yamamoto, Yang, PRD (2022)

$$\partial_t \rho + \nabla \cdot (\rho \mathbf{v}) = 0$$

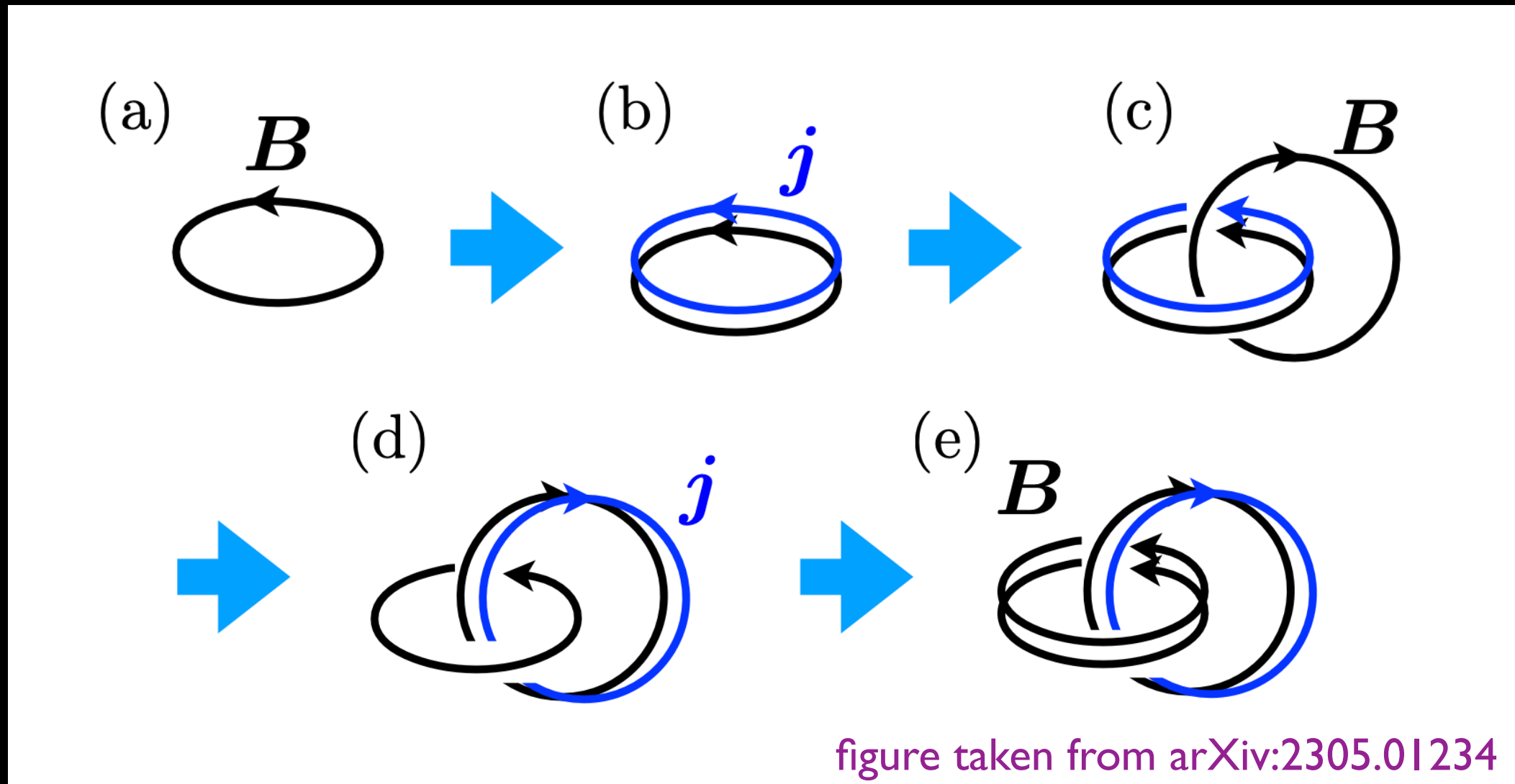
$$\partial_t(\rho \mathbf{v}) + \nabla \cdot (\rho \mathbf{v} \mathbf{v}) = -\nabla P + \mathbf{J} \times \mathbf{B} + \text{(dissipation)}$$

$$\partial_t \mathbf{B} = \nabla \times (\mathbf{v} \times \mathbf{B}) + \eta \nabla^2 \mathbf{B} + \eta \nabla \times \underline{(\xi_B \mathbf{B})}$$

$$\partial_t \mathcal{H}(\xi_B) = \frac{\eta}{2\pi^2} (\nabla \times \mathbf{B} - \xi_B \mathbf{B}) \cdot \mathbf{B}$$

see also Rogachevskii et al. (2017), Brandenburg et al. (2017), Schober et al. (2018)

Chiral Plasma Instability



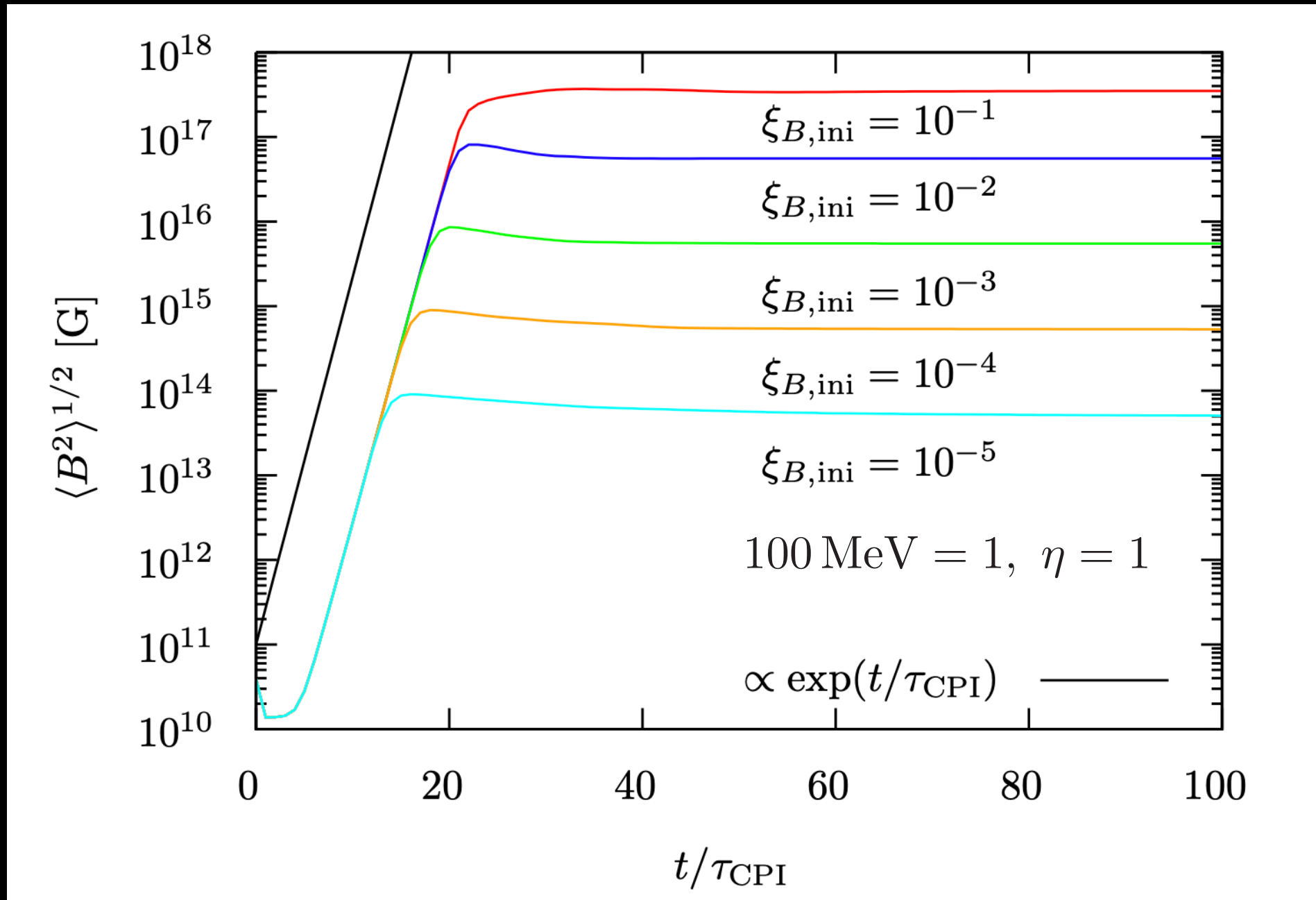
正のフィードバック → 磁気ヘリシティをもつ強磁場生成

Joyce, Shaposhnikov, PRL (1998), Akamatsu, Yamamoto, PRL (2013)

一般化対称性との関連 → 横倉さんの講演

CPIによる磁場増幅

Matsumoto, Yamamoto, Yang, PRD (2022)

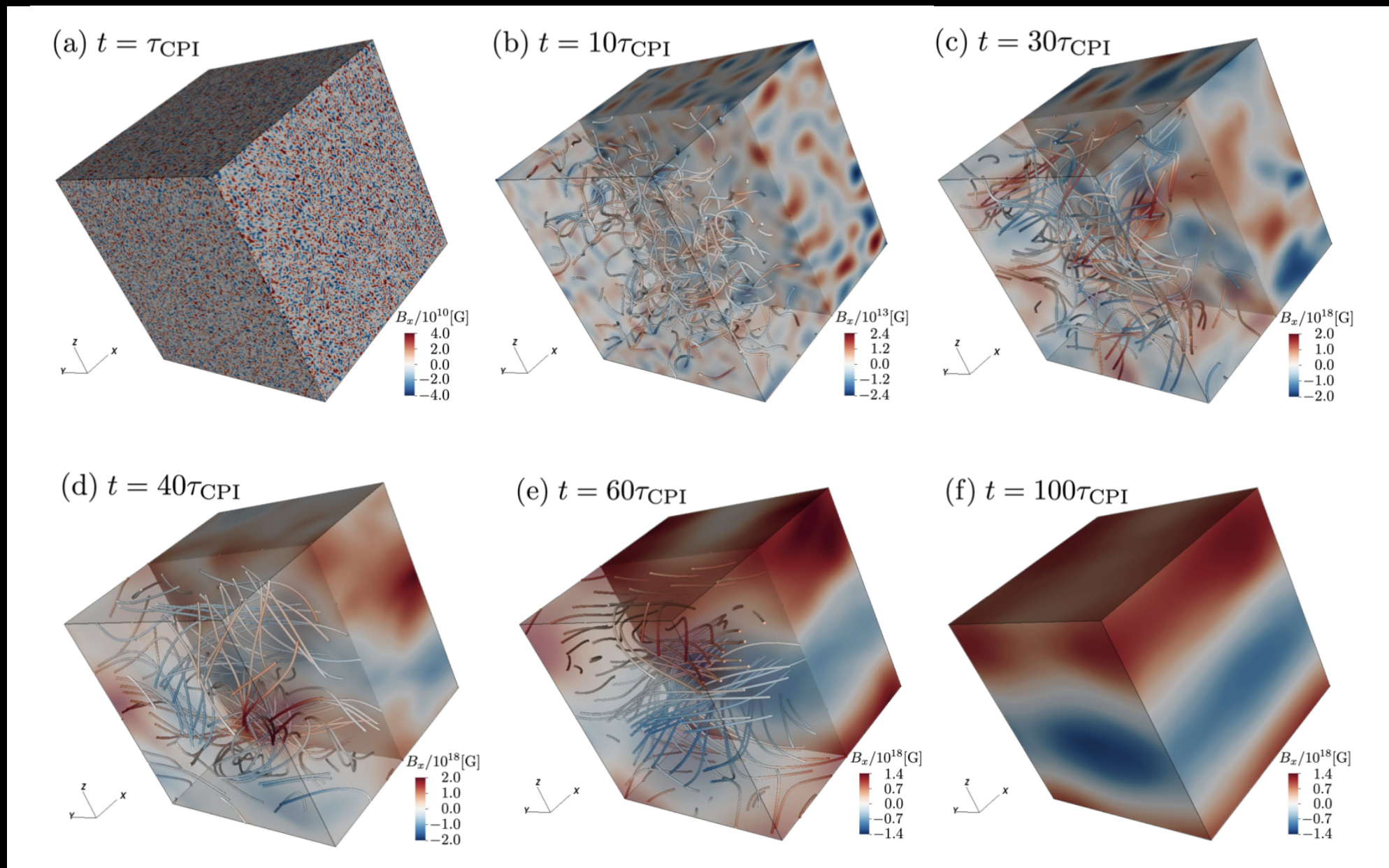


強く安定なマグネター磁場のメカニズムを与える

磁場の時間発展

$$\xi_{B,\text{ini}} = 10^{-1}$$

Masada et al. (2018); Matsumoto et al. (2022);
see also Brandenburg et al. (2017)

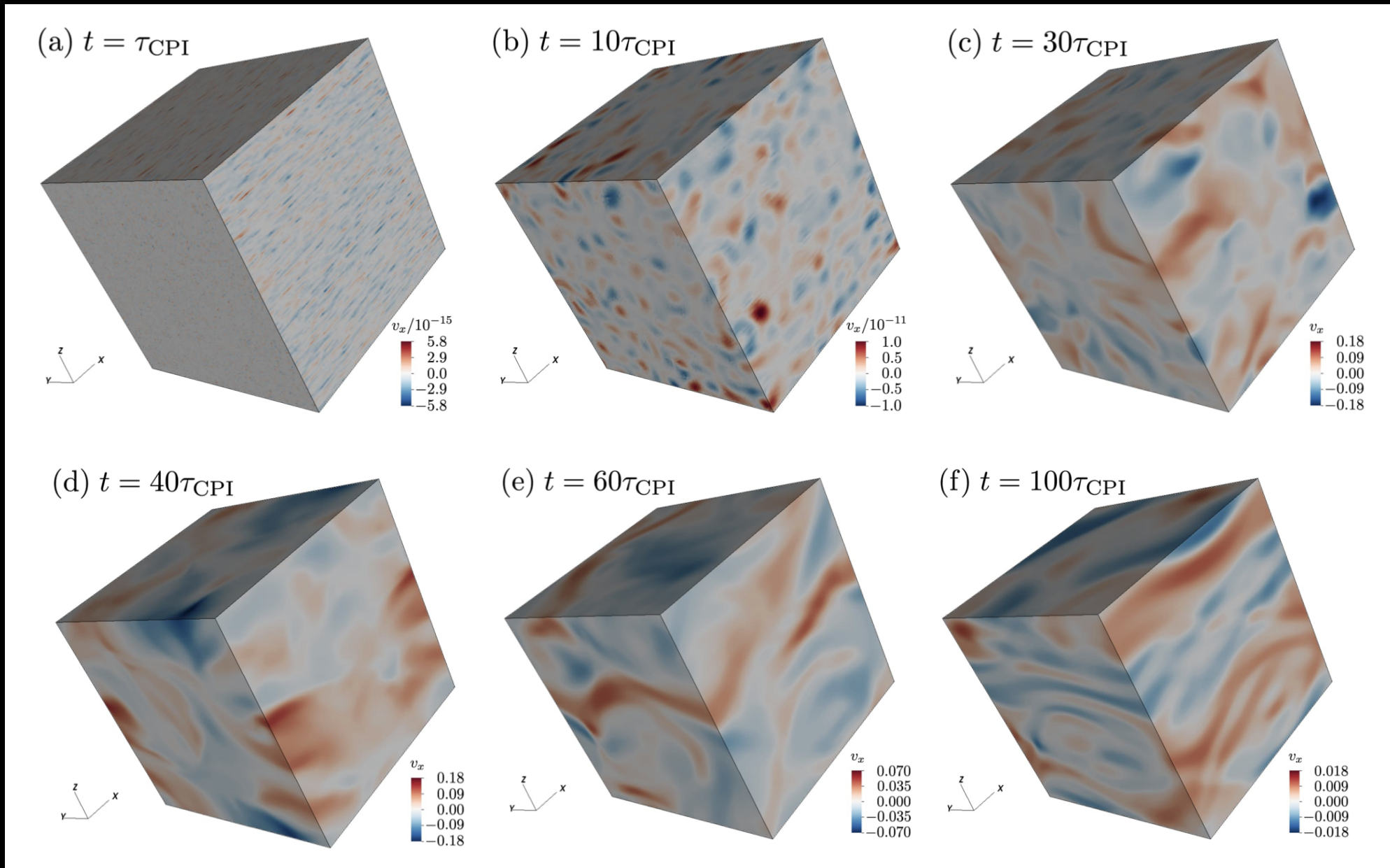


ヘリシティ効果 → 大スケールの磁場 (逆力スケード)

流速場の時間発展

$$\xi_{B,\text{ini}} = 10^{-1}$$

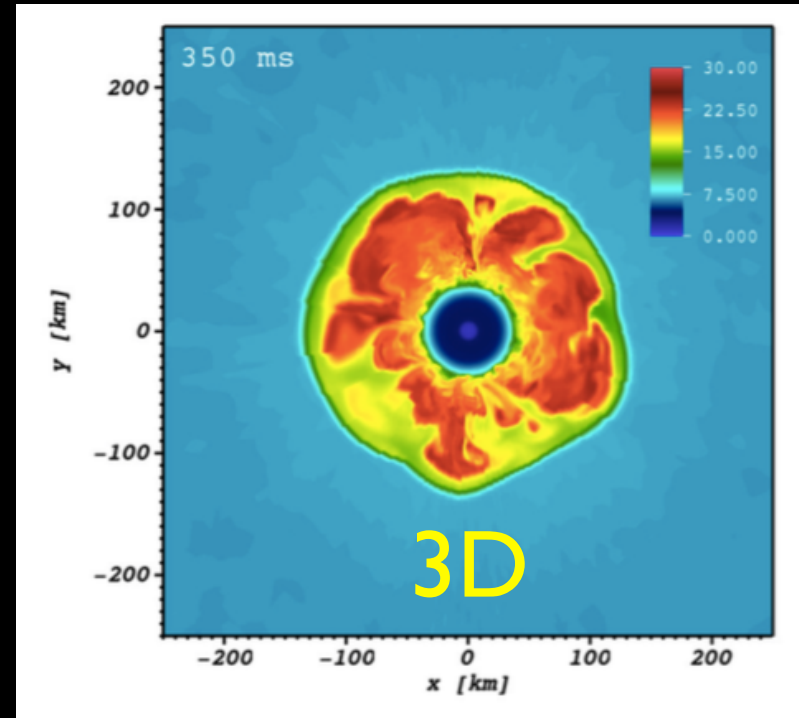
Masada et al. (2018); Matsumoto et al. (2022);
see also Brandenburg et al. (2017)



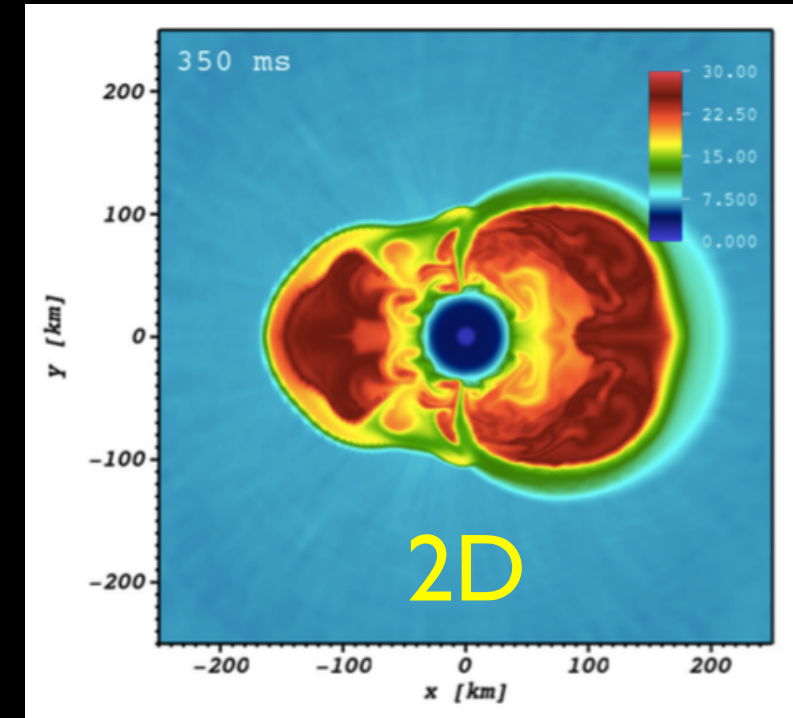
ヘリシティ効果 → 流体の時間発展も定性的に修正

乱流力スケードと爆発

順力スケード (3D):
エネルギー (ヘリシティなし)



逆力スケード (2D):
エネルギーとエンストロフィ



Hanke (2014)

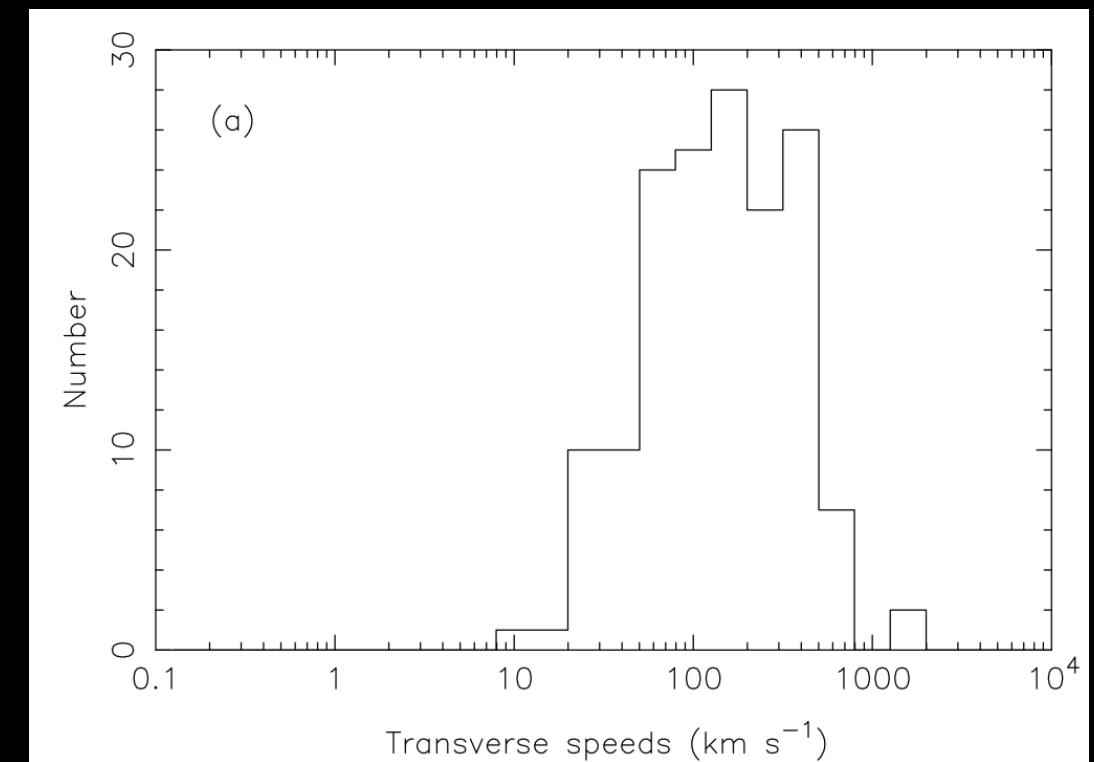
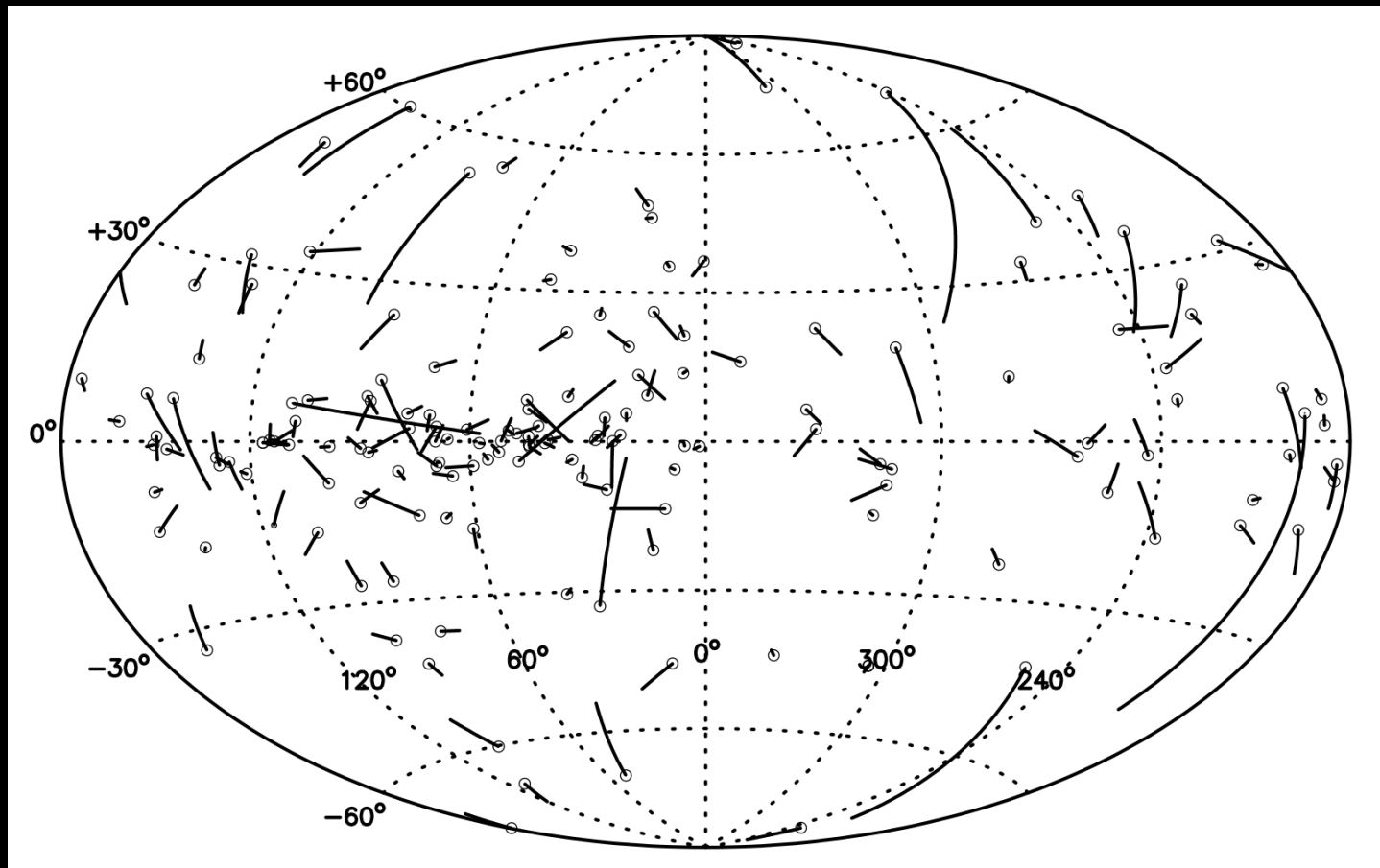
カイラルMHDでは逆力スケード (3D): エネルギーとヘリシティ
超新星の大域的な時間発展への影響？

パルセーキック

中性子星の典型的速度 ($\sim 100 \text{ km/s}$) \gg 母天体の速度
← 超新星爆発の非対称性が起源？

固有運動 & 距離の測定 → パルサー速度

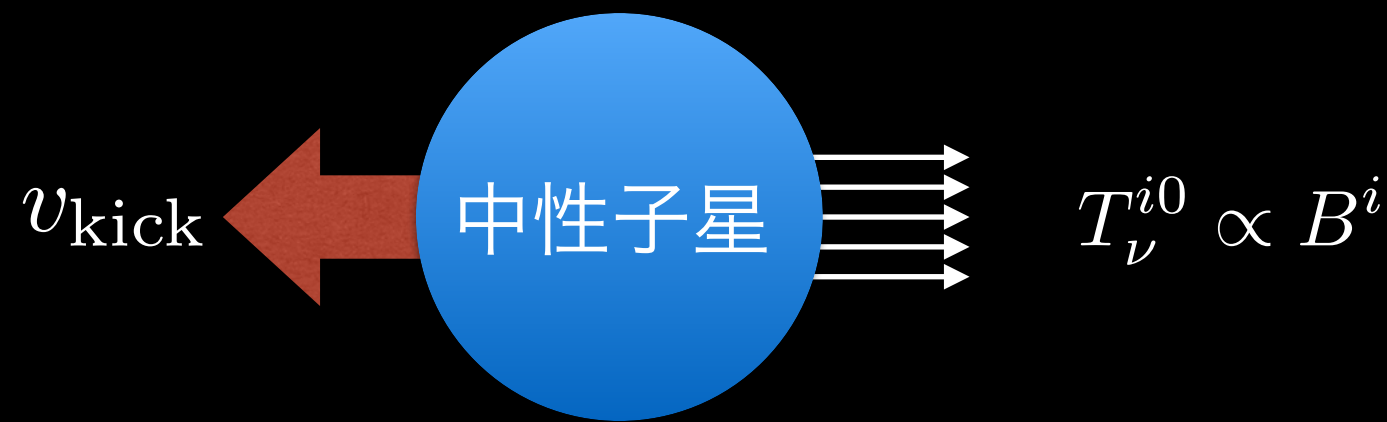
典型的には数 $100 \text{ km/s} \sim 1000 \text{ km/s}$



Hobbs, Lorimer, Lyne, Kramer (2005)

カイラル効果の寄与

ニュートリノの磁場方向のエネルギー流が中性子星をキック



- 現象論 : $v_{\text{kick}} \sim 100 \left(\frac{B}{10^{15} \text{ G}} \right) \text{ km/s}$ Chugai (1984), Vilenkin (1995), ...
- 平衡から少しずれた v : $T_\nu^{i0} \approx -\frac{1}{72\pi M_N G_F^2 (g_V^2 + 3g_A^2)} \frac{e^{2\beta(\mu_n - \mu_p)}}{n_n - n_p} (\nabla \cdot v) \mu_\nu B^i$
Yamamoto, Yang, PRD (2021)
- カイラル効果 + 運動量の非等方性の interplay Fukushima, Yu, 2401.04568

非平衡 v のカイラル効果を入れた超新星シミュレーションが必要

Summary & Outlook

- 従来の超新星の理論では弱い力のパリティの破れを無視
- カイラル効果が流体の振舞いを質的に修正：
カイラルプラズマ不安定性、逆力スケート...
- 中性子星磁場や爆発ダイナミクス、パルサーに影響
- 他のカイラル効果（スピンドルホール効果...）の影響？
- 他の量子論的効果（ニュートリノの集団振動） e.g., Nagakura
- 将来的なグローバルシミュレーションが重要
- 同様の物理の初期宇宙への応用？